

BALANÇ GLOBAL DE RADIACIÓ TERRA-ATMOSFERA

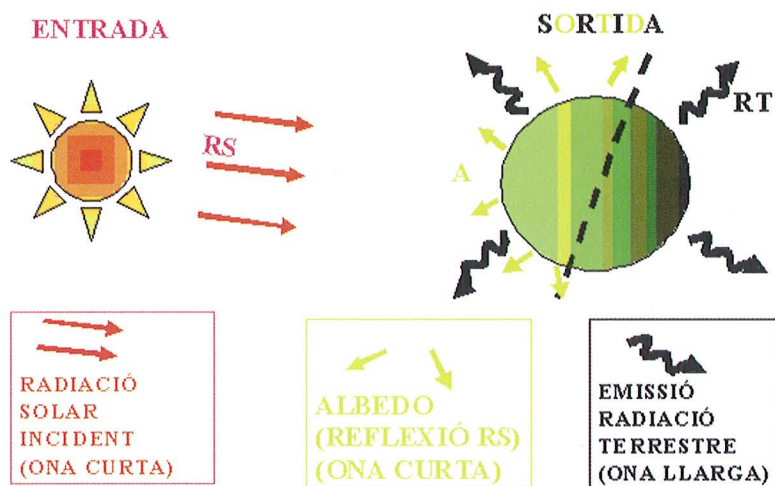


Figura 1. Esquema del balanç global de radiació al sistema Terra-atmosfera.

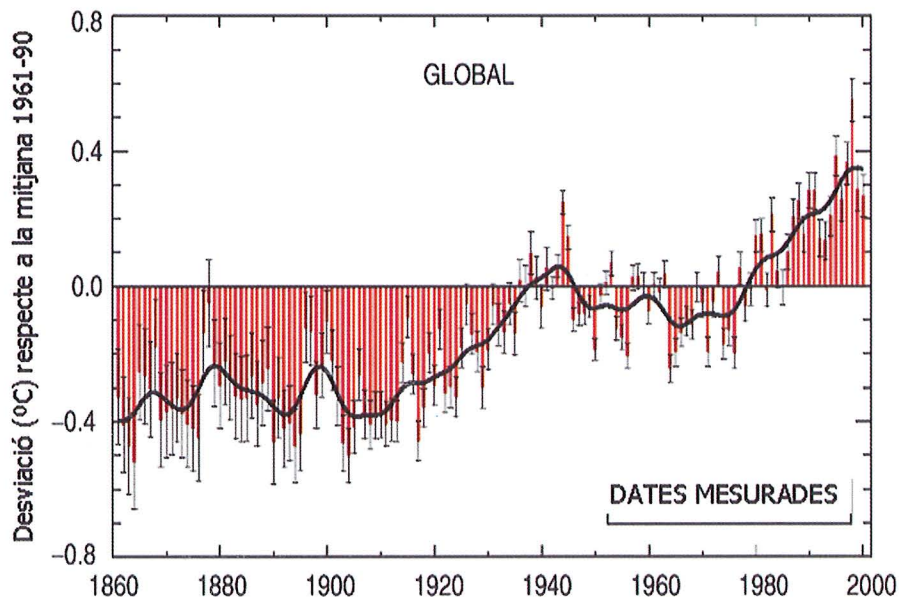


Figura 2. Evolució de la temperatura global en superfície durant els últims 140 anys. Extret de la publicació *Climate Change 2001: The Scientific Basis*. IPCC. WMO-UNEP.

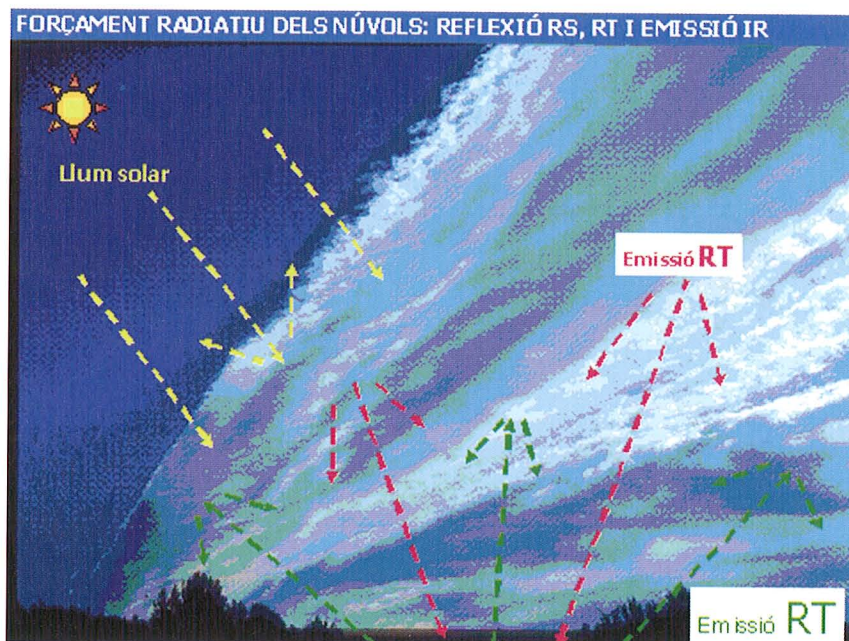


Figura 3. Esquema del forçament radiatiu dels núvols.

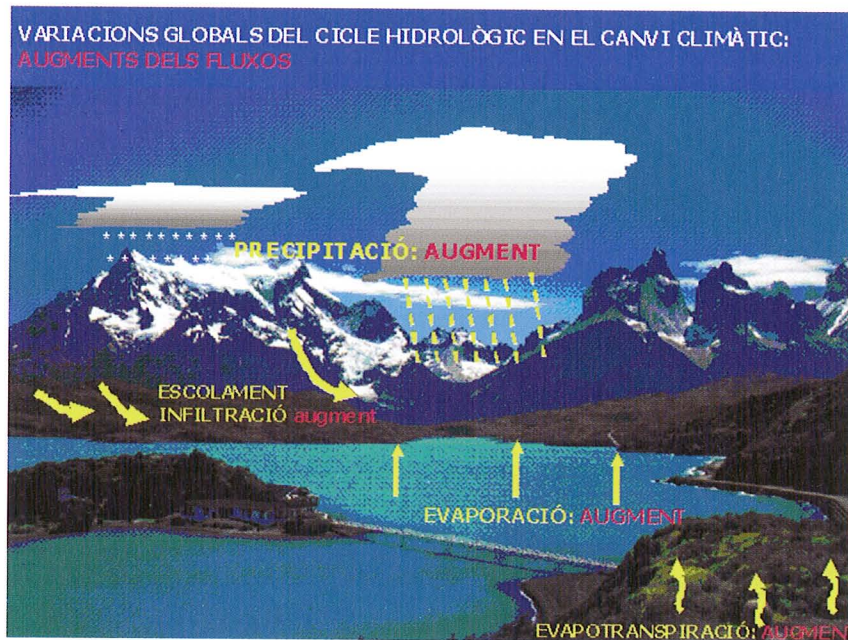


Figura 6. Il·lustració esquemàtica dels components del cicle hidrològic i de com podrien alterar-se en un escalfament global de l'atmosfera.

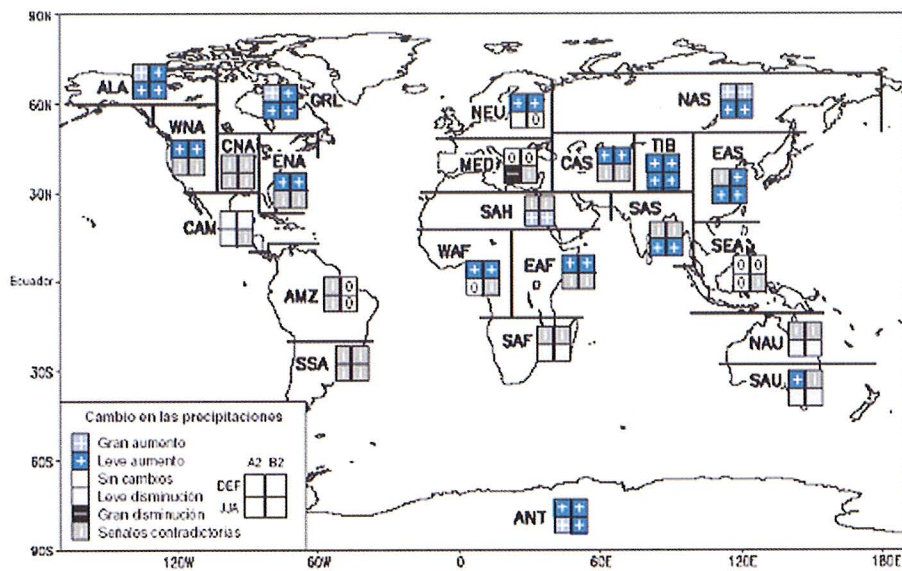
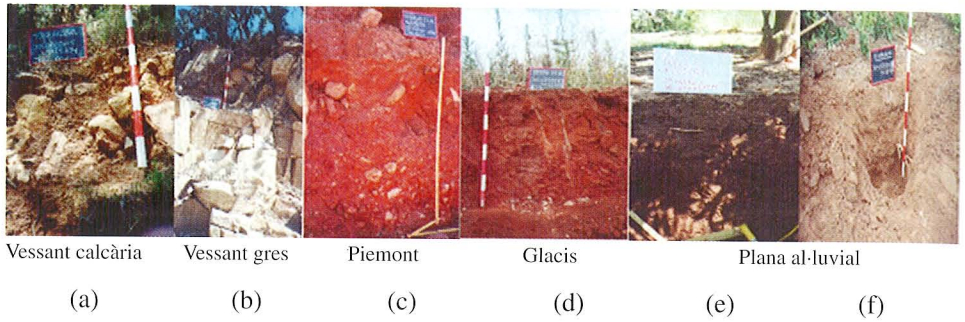
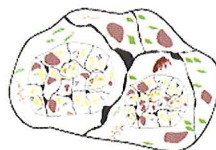
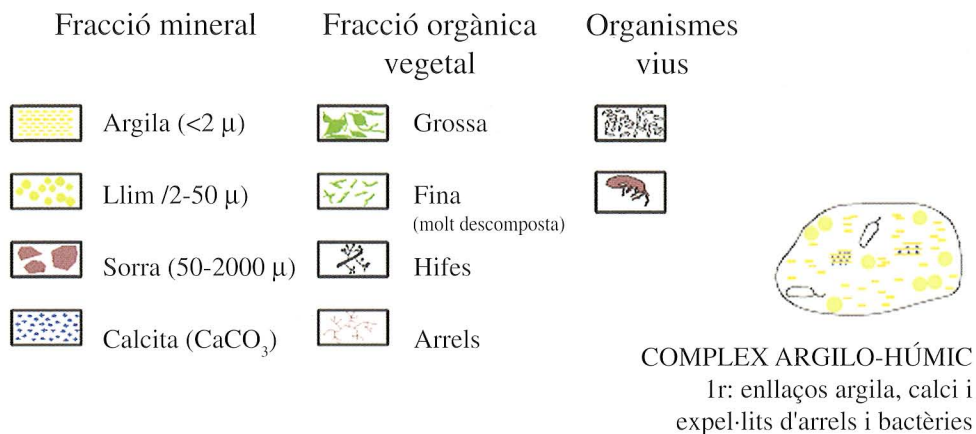


Figura 7. Concordança entre diferents models pel que fa als canvis en la precipitació. Extret de la publicació *Climate Change 2001: The Scientific Basis*. IPCC. WMO-UNEP.



Sòl	Horitzó	Prof- cm	%				Infiltració mm/h
			Sorra	Argila	Mat.Org	CaCO ₃	
(a)	A	0-10	38	22	5,9	40	41
(b)	A	0-40	47	23	1,7	1	17
(c)	A	0-30	47	20	2,2	4	22
	B	30-60	34	31	0,4	1	17
(d)	A	0-40	39	27	1,8	1	27
	B	40-70	26	33	0,8	1	24
(e)	A	0-40	24	27	2,7	11	18
	B	40-100	21	37	1,3	8	9
(f)	A	0-40	32	26	1,7	18	13
	B	40-100	24	31	0,9	16	7

Figura 3: Conjunt de sòls representatius i les seues propietats en sistemes de vessant-vall litoral (curs baix Riu Sec-Millars) en clima mediterrani sec (Molina i al., inèdit).

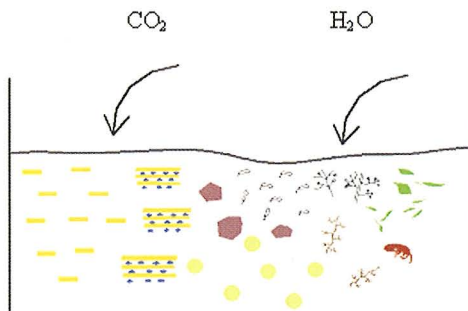


MICROAGREGATS

2n: agrupació dels anteriors en clústers de major dimensió (microagregats i formació de porus facilitats per arrels, hifes, i restes vegetals parcialment descompostes)

MACROAGREGATS

3r: unió de microagregats en estructures de major dimensió (macroagregats) mitjançant restes de matèria orgànica fresca que faciliten la formació de macroporus i la seua connexió amb porus de menor dimensió (meso i microporus)



Components del sòl implicats en l'agregació

Figura 5. Components i mecanismes implicats en la formació i estabilització de l'estructura del sòl (Molina i al., inèdit)